



8A、500V N沟道增强型场效应管

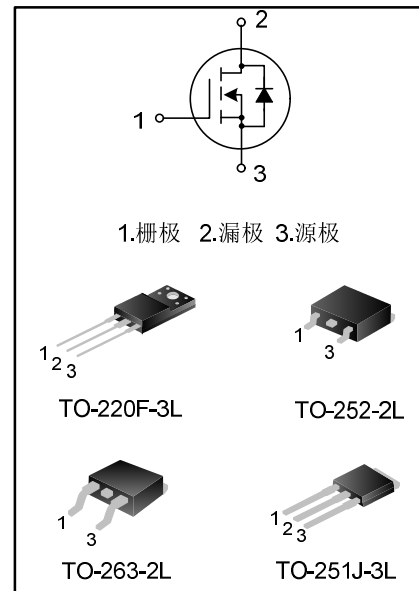
描述

SVF840F/D/S/MJ N 沟道增强型高压功率 MOS 场效应晶体管采用士兰微电子的 F-Cell™ 平面高压 VDMOS 工艺技术制造。先进的工艺及元胞结构使得该产品具有较低的导通电阻、优越的开关性能及很高的雪崩击穿耐量。

该产品可广泛应用于 AC-DC 开关电源，DC-DC 电源转换器，高压 H 桥 PWM 马达驱动。

特点

- ◆ 8A, 500V, $R_{DS(on)}$ (典型值) = 0.68Ω @ V_{GS} = 10V
- ◆ 低栅极电荷量
- ◆ 低反向传输电容
- ◆ 开关速度快
- ◆ 提升了 dv/dt 能力



产品规格分类

产品名称	封装形式	打印名称	环保等级	包装形式
SVF840F	TO-220F-3L	SVF840F	无铅	料管
SVF840DTR	TO-252-2L	SVF840D	无卤	编带
SVF840S	TO-263-2L	SVF840S	无卤	料管
SVF840STR	TO-263-2L	SVF840S	无卤	编带
SVF840MJ	TO-251J-3L	SVF840MJ	无卤	料管

极限参数(除非特殊说明, $T_c=25^\circ\text{C}$)

参数名称	符号	参数范围				单位
		SVF840F	SVF840D	SVF840S	SVF840MJ	
漏源电压	V_{DS}		500			V
栅源电压	V_{GS}		± 30			V
漏极电流 $T_c = 25^\circ\text{C}$	I_D		8			A
			5			
漏极冲击电流	I_{DM}		32			A
耗散功率 ($T_c=25^\circ\text{C}$) -大于 25°C 每摄氏度减少	P_D	49	130	131	120	W
		0.39	1.04	1.05	0.96	W/°C
单脉冲雪崩能量 (注 1)	E_{AS}		511.6			mJ
工作结温范围	T_J		-55~+150			°C
贮存温度范围	T_{stg}		-55~+150			°C



热阻特性

参数名称	符号	参数范围				单位
		SVF840F	SVF840D	SVF840S	SVF840MJ	
芯片对管壳热阻	$R_{\theta JC}$	2.56	0.96	0.95	1.04	°C/W
芯片对环境的热阻	$R_{\theta JA}$	62.5	62.0	110	62	°C/W

电性参数(除非特殊说明, $T_C=25^{\circ}\text{C}$)

参数名称	符号	测试条件	最小值	典型值	最大值	单位
漏源击穿电压	BV_{DSS}	$V_{\text{GS}}=0\text{V}, I_{\text{D}}=250\mu\text{A}$	500	--	--	V
漏源漏电流	I_{DSS}	$V_{\text{DS}}=500\text{V}, V_{\text{GS}}=0\text{V}$	--	--	1.0	μA
栅源漏电流	I_{GSS}	$V_{\text{GS}}=\pm 30\text{V}, V_{\text{DS}}=0\text{V}$	--	--	± 100	nA
栅极开启电压	$V_{\text{GS}(\text{th})}$	$V_{\text{GS}}=V_{\text{DS}}, I_{\text{D}}=250\mu\text{A}$	2.0	--	4.0	V
导通电阻	$R_{\text{DS}(\text{on})}$	$V_{\text{GS}}=10\text{V}, I_{\text{D}}=4.0\text{A}$	--	0.68	0.90	Ω
输入电容	C_{iss}	$V_{\text{DS}}=25\text{V}, V_{\text{GS}}=0\text{V}, f=1.0\text{MHz}$	--	904	--	pF
输出电容	C_{oss}		--	120	--	
反向传输电容	C_{rss}		--	2.69	--	
开启延迟时间	$t_{\text{d}(\text{on})}$	$V_{\text{DD}}=250\text{V}, I_{\text{D}}=8.0\text{A}, R_{\text{G}}=25\Omega$ (注 2, 3)	--	29.2	--	ns
开启上升时间	t_r		--	59.6	--	
关断延迟时间	$t_{\text{d}(\text{off})}$		--	41.3	--	
关断下降时间	t_f		--	29.2	--	
栅极电荷量	Q_g	$V_{\text{DS}}=400\text{V}, I_{\text{D}}=8.0\text{A}, V_{\text{GS}}=10\text{V}$ (注 2, 3)	--	14.7	--	nC
栅极-源极电荷量	Q_{gs}		--	5.6	--	
栅极-漏极电荷量	Q_{gd}		--	4.4	--	

源-漏二极管特性参数

参数名称	符号	测试条件	最小值	典型值	最大值	单位
源极电流	I_s	MOS 管中源极、漏极构成的反偏 P-N 结	--	--	8.0	A
源极脉冲电流	I_{SM}		--	--	32.0	
源-漏二极管压降	V_{SD}	$I_s=8.0\text{A}, V_{\text{GS}}=0\text{V}$	--	--	1.4	V
反向恢复时间	T_{rr}	$I_s=8.0\text{A}, V_{\text{GS}}=0\text{V}, \frac{dI_F}{dt}=100\text{A}/\mu\text{s}$ (注 2)	--	470.91	--	ns
反向恢复电荷	Q_{rr}		--	3.28	--	μC

注:

- $L=30\text{mH}, I_{\text{AS}}=5.3\text{A}, V_{\text{DD}}=130\text{V}, R_{\text{G}}=25\Omega$, 开始温度 $T_J=25^{\circ}\text{C}$;
- 脉冲测试: 脉冲宽度 $\leq 300\mu\text{s}$, 占空比 $\leq 2\%$;
- 基本不受工作温度的影响。



典型特性曲线

图1. 输出特性

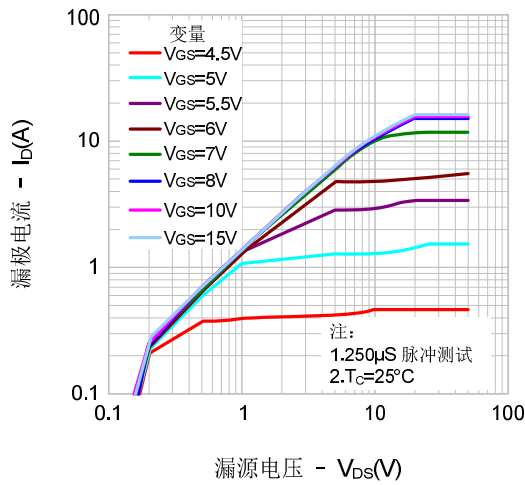


图2. 传输特性

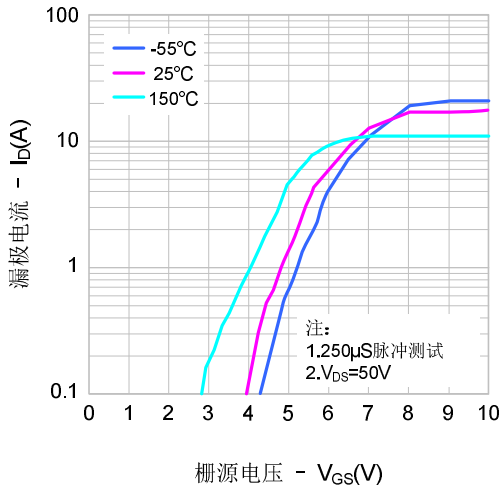


图3. 导通电阻vs.漏极电流

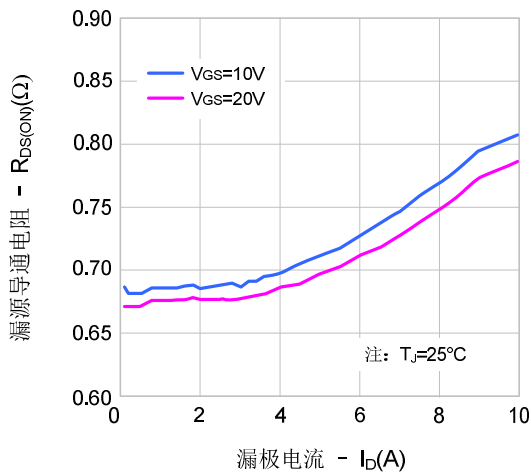


图4. 体二极管正向压降vs. 源极电流、温度

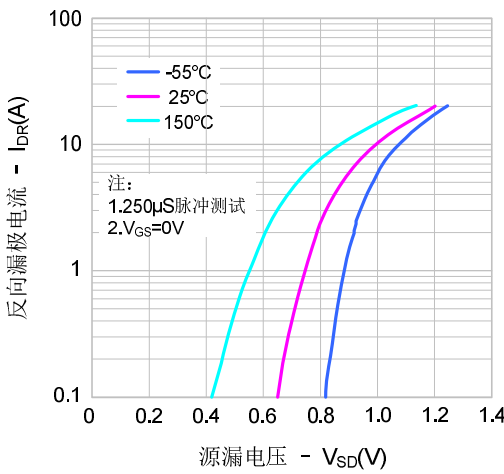


图5. 电容特性

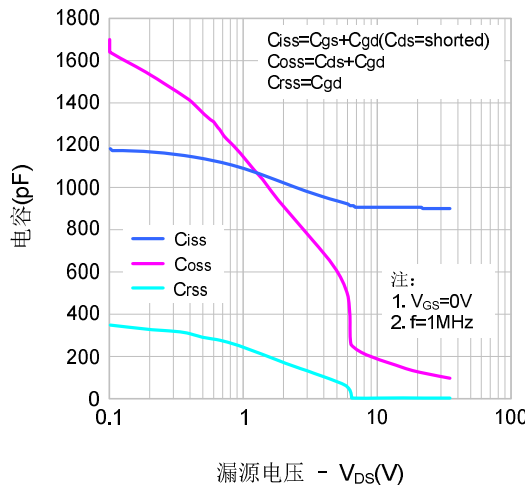
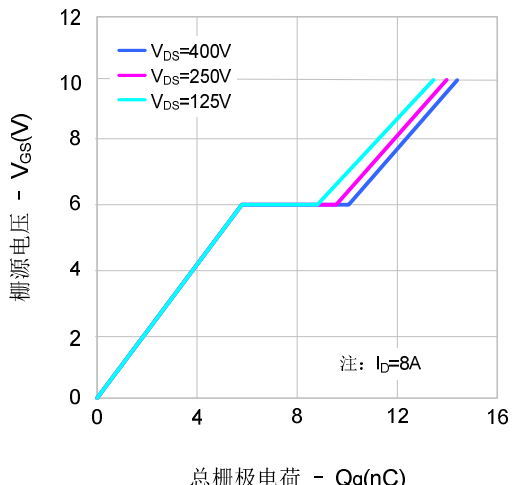


图6. 电荷量特性





典型特性曲线（续）

图7. 击穿电压vs.温度特性

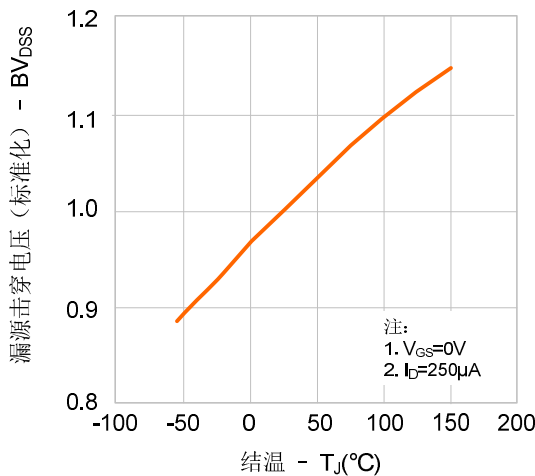


图8. 导通电阻vs.温度特性

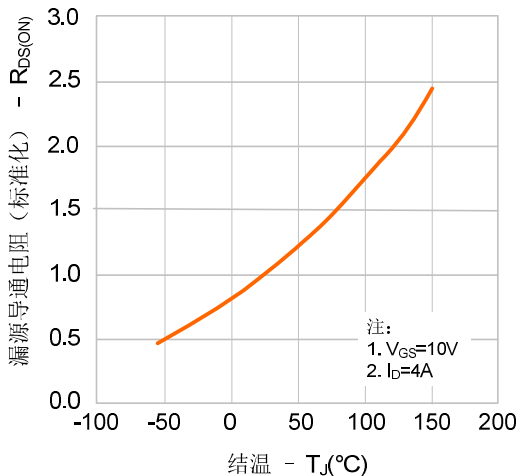


图9-1. 最大安全工作区域(SVF84MJ)

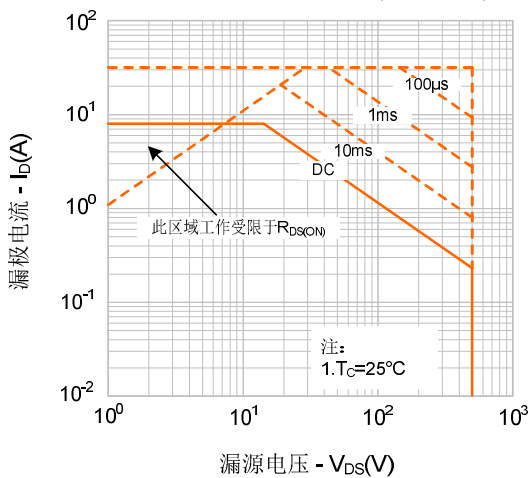


图9-2. 最大安全工作区域(SVF840F)

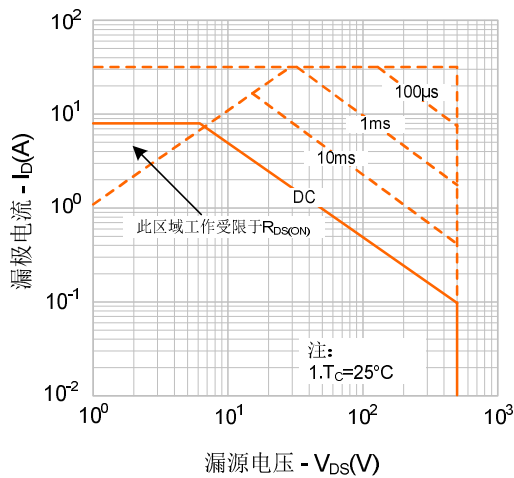


图9-3. 最大安全工作区域(SVF840D)

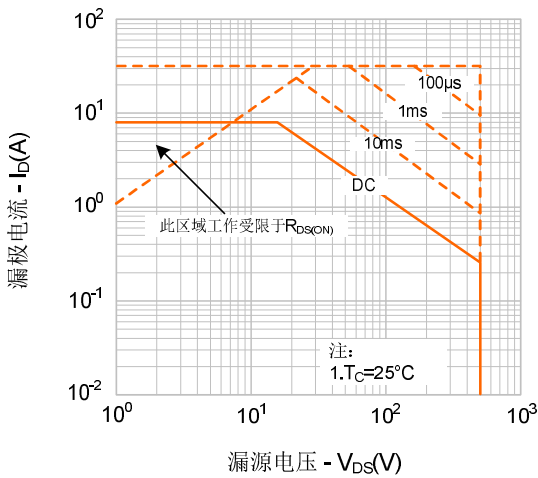
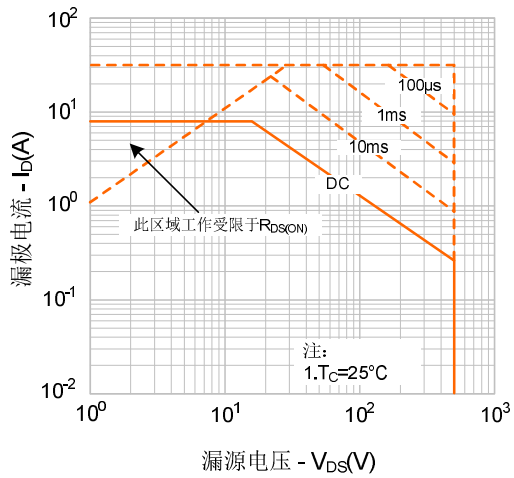


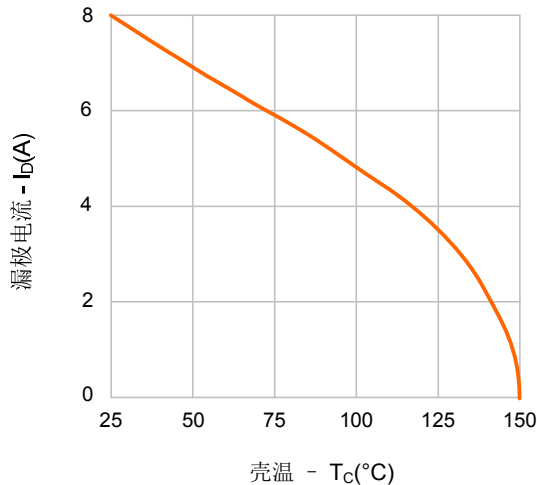
图9-4. 最大安全工作区域(SVF840S)





典型特性曲线（续）

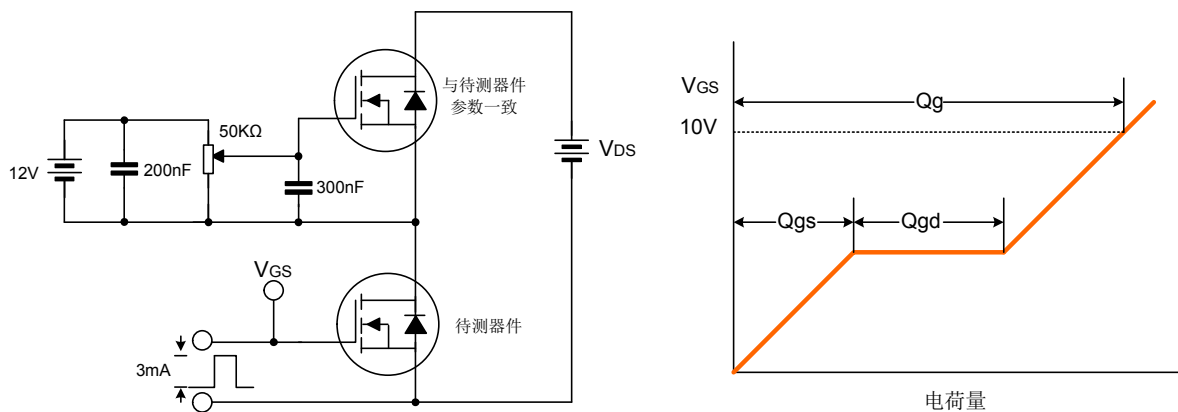
图10. 最大漏极电流vs. 壳温



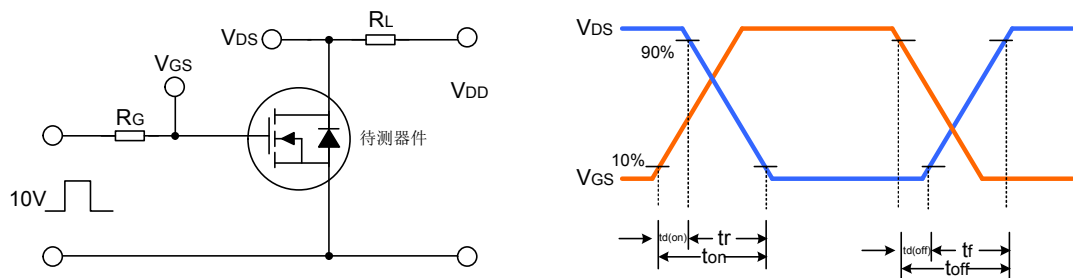


典型测试电路

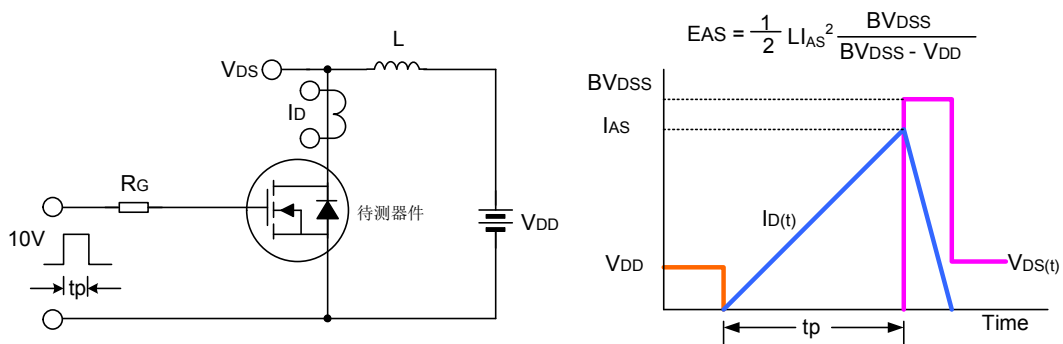
栅极电荷量测试电路及波形图



开关时间测试电路及波形图



EAS测试电路及波形图

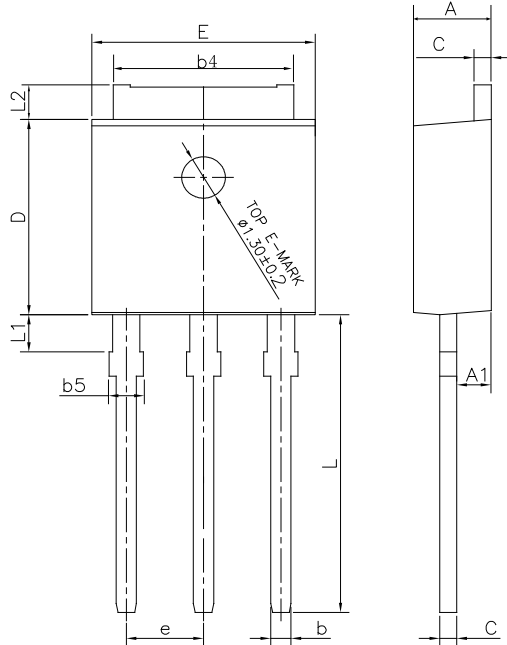




封装外形图

TO-251J-3L

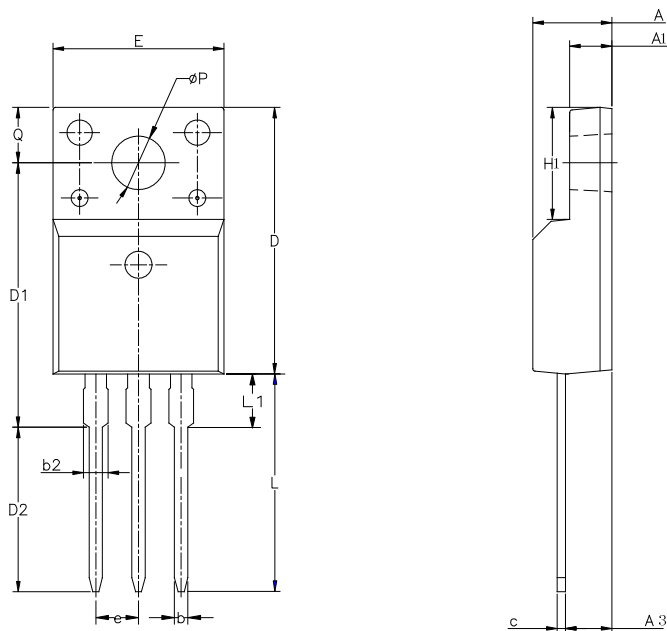
单位: mm



SYMBOL	MIN	NOM	MAX
A	2.18	2.30	2.39
A1	0.89	1.00	1.14
b	0.56	---	0.89
b4	4.95	5.33	5.46
b5	---	---	1.05
c	0.46	---	0.61
D	5.97	6.10	6.27
E	6.35	6.60	6.73
e		2.29 BCS	
L	8.89	9.30	9.65
L1	0.95	---	1.50
L2	0.89	---	1.27

TO-220F-3L

单位: mm



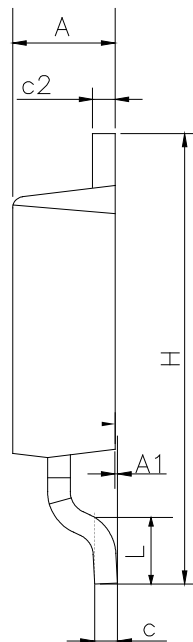
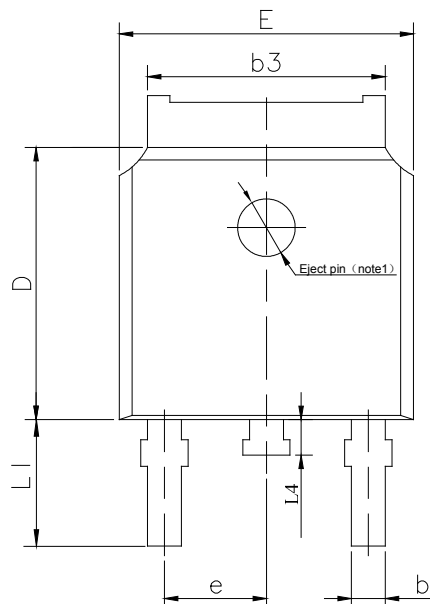
SYMBOL	MIN	NOM	MAX
A	4.42	4.70	5.02
A1	2.30	2.54	2.80
A3	2.50	2.76	3.10
b	0.70	0.80	0.90
b2	—	—	1.47
c	0.35	0.50	0.65
D	15.25	15.87	16.25
D1	15.30	15.75	16.30
D2	9.30	9.80	10.30
E	9.73	10.16	10.36
e		2.54BCS	
H1	6.40	6.68	7.00
L	12.48	12.98	13.48
L1	/	/	3.50
ØP	3.00	3.18	3.40
Q	3.05	3.30	3.55



封装外形图（续）

TO-252-2L

单位: mm

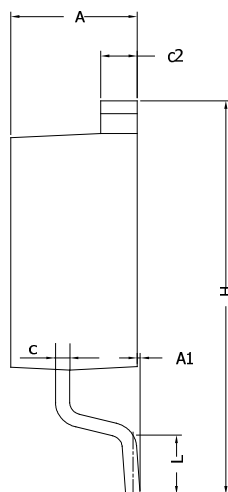
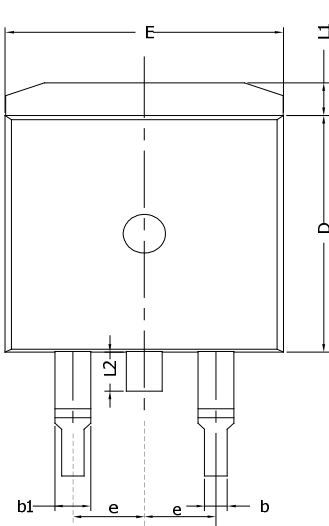


SYMBOL	MIN	NOM	MAX
A	2.10	2.30	2.50
A1	0	---	0.127
b	0.66	0.76	0.89
b3	5.10	5.33	5.46
c	0.45	---	0.65
c2	0.45	---	0.65
D	5.80	6.10	6.40
E	6.30	6.60	6.90
e	2.30TYP		
H	9.60	10.10	10.60
L	1.40	1.50	1.70
L1	2.90REF		
L4	0.60	0.80	1.00

NOTE1 : There are two conditions for this position:has an eject pin or has no eject pin.

TO-263-2L

单位: mm



SYMBOL	MIN	NOM	MAX
A	4.30	4.57	4.72
A1	0	0.10	0.25
b	0.71	0.81	0.91
c	0.30	---	0.60
c2	1.17	1.27	1.37
D	8.50	---	9.35
E	9.80	---	10.45
e	2.54BSC		
H	14.70	---	15.75
L	2.00	2.30	2.74
L1	1.12	1.27	1.42
L2	---	---	1.75

**声明：**

- 士兰保留说明书的更改权，恕不另行通知！客户在下单前应获取最新版本资料，并验证相关信息是否完整和最新。
- 任何半导体产品特定条件下都有一定的失效或发生故障的可能，买方有责任在使用 Silan 产品进行系统设计和整机制造时遵守安全标准并采取安全措施，以避免潜在失败风险可能造成人身伤害或财产损失情况的发生！
- 产品提升永无止境，我公司将竭诚为客户提供更优秀的产品！

产品名称： SVF840F/D/S/MJ

文档类型： 说明书

版 权： 杭州士兰微电子股份有限公司

公司主页： <http://www.silan.com.cn>

版 本： 2.6

修改记录：

1. 删除 TO-220-3L
-

版 本： 2.5

修改记录：

1. 增加 TO-220-3L 带缺口立体图
-

版 本： 2.4

修改记录：

1. 更新 TO-251J-3L 封装外形图
-

版 本： 2.3

修改记录：

1. 修改典型特性曲线
-

版 本： 2.2

修改记录：

1. 修改产品规格分类
-

版 本： 2.1

修改记录：

1. 增加 TO-251J-3L 封装
-

版 本： 2.0

修改记录：

1. 修改 TO-220F-3L 封装信息；
 2. 修改 TO-252-2L 封装信息；
 3. 修改 TO-220-3L 封装信息
-

版 本： 1.9

修改记录：

1. 修改产品规格分类
-

版 本： 1.8

修改记录：

1. 修改热阻特性
-

版 本： 1.7

修改记录：

1. 修改产品规格分类
-

版 本： 1.6



修改记录:

1. 修改产品规格分类

版 本: 1.5

修改记录:

1. 修改 MOS 管符号的示意图

版 本: 1.4

修改记录:

1. 修改 T_{rr} 和 Q_{rr} 的值

版 本: 1.3

修改记录:

1. 增加 TO-263-2L 封装

版 本: 1.2

修改记录:

1. 增加 TO-252-2L 封装

版 本: 1.1

修改记录:

1. 修改“封装外形图”

版 本: 1.0

修改记录:

1. 原版

X-ON Electronics

Largest Supplier of Electrical and Electronic Components

Click to view similar products for MOSFET category:

Click to view products by Silan manufacturer:

Other Similar products are found below :

[614233C](#) [648584F](#) [MCH3443-TL-E](#) [MCH6422-TL-E](#) [FDPF9N50NZ](#) [FW216A-TL-2W](#) [FW231A-TL-E](#) [APT5010JVR](#) [NTNS3A92PZT5G](#)
[IRF100S201](#) [JANTX2N5237](#) [2SK2464-TL-E](#) [2SK3818-DL-E](#) [FCA20N60_F109](#) [FDZ595PZ](#) [STD6600NT4G](#) [FSS804-TL-E](#) [2SJ277-DL-E](#)
[2SK1691-DL-E](#) [2SK2545\(Q,T\)](#) [D2294UK](#) [405094E](#) [423220D](#) [MCH6646-TL-E](#) [TPCC8103,L1Q\(CM](#) [367-8430-0972-503](#) [VN1206L](#)
[424134F](#) [026935X](#) [051075F](#) [SBVS138LT1G](#) [614234A](#) [715780A](#) [NTNS3166NZT5G](#) [751625C](#) [873612G](#) [IRF7380TRHR](#)
[IPS70R2K0CEAKMA1](#) [RJK60S3DPP-E0#T2](#) [RJK60S5DPK-M0#T0](#) [APT5010JVFR](#) [APT12031JFLL](#) [APT12040JVR](#) [DMN3404LQ-7](#)
[NTE6400](#) [JANTX2N6796U](#) [JANTX2N6784U](#) [JANTXV2N5416U4](#) [SQM110N05-06L-GE3](#) [SIHF35N60E-GE3](#)